

الاحترار الأرضي وأثره على الغبار العالق في العراق للمدة (١-٢٠٢١)

هبه احمد فخري

salamhatif206@gmail.com

جامعة بغداد / كلية التربية بن رشد

سلام هاتف احمد الجبوري

hibaahmead1984@gmail.com

جامعة بغداد / كلية التربية بن رشد

النشر: 2024/3/1

القبول: 2023/12/11

التقديم: 2023/10/22

Doi: <https://doi.org/10.36473/dzeasf92>



This work is licensed under a [Creative Commons Attribution 4.0 International Licenses](#)

الملخص:

يهدف البحث إلى دراسة ظاهرة الاحترار الأرضي وتأثيرها على الغبار العالق في العراق، واعتمدت الدراسة على بيانات ثمانية محطات مناخية هي: (الموصل، كركوك، بغداد، الرطبة، الحي، الناصرية، الديوانية، البصرة) للمدة (١٩٩١-٢٠٢١). وتم التطرق إلى العوامل المؤثرة في الاحترار وتكرار الظواهر الغبارية من خلال تحليل المرئيات الفضائية لكل من الغطاء المائي والغطاء النباتي والغطاء الحضري، فضلاً عن بيان الغازات المُسببة للاحترار، وظهر وجود تراجع في الغطاء المائي والغطاء النباتي وتوسيع في مساحة الغطاء الحضري، مما كان له تأثير في زيادة الاحترار وتكرار الغبار العالق في العراق. ولتوسيع العلاقة بين الاحترار بوصفه عاملًا مستقلًا متمثلاً بمعدل درجات الحرارة الصغرى والعظمى والمعدل مع الغبار العالق استعمل الاحصاء الجغرافي وأكَّدَت نتائج التحليل أنَّ العلاقة كانت علاقة طردية ومعنىَّة.

الكلمات المفتاحية: الاحترار الأرضي، الغبار العالق، الغازات المُسببة للاحترار، الغطاء المائي، الغطاء النباتي.

Earth warming and its impact on suspended dust in Iraq for the period (1991-2021)

salam Hatif Ahmed Al-Jubouri Heba Ahmed Fakhri

University of Baghdad/ College of Education University of Baghdad/ College of Education Ibn Rushd Ibn Rushd

Abstract:

The research aims to study the phenomenon of land warming and its impact on suspended dust in Iraq. The study relied on the data of eight climate stations: (Mosul, Kirkuk, Baghdad, Rutba, Al-Hayy, Nasiriyah, Diwaniyah, Basra) for the period (1991-2021). The factors affecting warming and the frequency of dust phenomena were addressed through the analysis of satellite visualizations of both water cover and vegetation cover. It expanded the area of urban cover, which had the effect of increasing warming and the frequency of dust suspended in Iraq. To illustrate the relationship between warming as an independent factor represented by the average minimum and maximum temperatures. It expanded the area of urban cover, which had the effect of increasing warming and the frequency of dust suspended in Iraq. To illustrate the relationship between warming as an independent factor represented by the average minimum and maximum temperatures.

Keywords: terrestrial warming, suspended matter, gases that cause warming, water cover, vegetation.

المقدمة:

إنَّ دراسة ظاهرة الاحترار الأرضي وأثرها على تكرار الغبار العالق في العراق جاءت نتيجة اتجاه درجات الحرارة في العراق اتجاهها عَلَى نحو الارتفاع، وأنَّ هذا الارتفاع المستمر لدرجة الحرارة سيؤدي إلى الكثير من المشاكل، ومنها تأثيره في زيادة تكرار الغبار العالق، والعراق يعاني من ذلك بوضوح، ويترك الغبار آثارًا سلبية على البيئة والصحة العامة، من هذا المُنطَّقَ جاءتْ هذه الدراسة في محاولة لنقصي أثر الاحترار الأرضي على الغبار العالق وتوضح العلاقة بينهما إحصائيًا.

مشكلة الدراسة: هل يزيد الاحترار من تكرار الغبار العالق في العراق؟ وهل توجد علاقة احصائية بينهما؟

فرضية الدراسة: يزداد الاحترار الأرضي بسبب تكرار الغبار العالق في العراق، وتوجد علاقة طردية معنوية.

ميررات الدراسة:

١. توجد الكثير من الدراسات التي اهتمت بدراسة الغبار العالق، لكن لم توجد دراسة تطرق إلى تأثير ظاهرة الاحترار في الغبار العالق في العراق.

٢. البحث في أسباب الارتفاع المتواصل لدرجات الحرارة.

٣. البحث في العلاقة بين الاحترار والغبار العالق.

حدود منطقة الدراسة:

يقع العراق في الجزء الجنوبي الغربي من قارة آسيا والقسم الشمالي الشرقي من الوطن العربي، ويمتد بين دائري عرض ($37^{\circ}00'N$ - $40^{\circ}00'N$) شمال دائرة الاستواء وبين خط طول ($40^{\circ}00'E$ - $48^{\circ}00'E$) شرقاً، وتشمل منطقة الدراسة ثمان محطات هي: الموصل، كركوك، بغداد، الرطبة، الحي، الديوانية، الناصرية، البصرة، يلاحظ الخريطة (١). أما الحدود الزمانية؛ فتتمثل بدوره مناخيةً أمنها واحد وثلاثون سنة من ١٩٩١ إلى ٢٠٢١.

خرائط (١) التوزيع الجغرافي للمحطات المناخية في منطقة الدراسة



المصدر: الباحثة بالاعتماد على وزارة النقل، الهيئة العامة للأتواء الجوية العراقية، قسم المناخ، سجلات غير منشورة.

مفهوم الاحترار الأرضي global warming

تعرف ظاهرة الاحترار الأرضي بأنها ارتفاع مستمر في درجات الحرارة على سطح الأرض في الغلاف الغازي، نتيجة تفاقم ظاهرة الاحتباس الحراري (الهذاي، 2014:70)، (Al-Hathal, 2014:70).

وتُعرف الحرارة بأنها: شكل من أشكال الطاقة التي بإمكانها جعل الأشياء أكثر حرارة، أما درجة الحرارة؛ فإنّها تبيّن لنا حالة تسخين المادة وشّتها (Trewartha, 1954:26). وتتعرّض درجات الحرارة في جميع أنحاء العالم إلى زيادة كبيرة منذ حوالي أكثر من قرنين ونصف من الزمان، وسبب ذلك أرجع العلماء ذلك

إلى النشاط البشري المُتزايد نتيجة زيادة أعداد السكان، وزيادة تقدّمهم العلمي والتكنولوجي. (كوكز ، Cooks, 2022:2247) (2022:2247) فلموقع العراق الذي تحيط به اليابسة من جميع الجهات أثرًا مهمًّ في زيادة درجات الحرارة، فضلًا عن قلة الغطاء النباتي، وقلة الأمطار والغيوم (الذبي ، ٢٠١٤، ٣٥٢) (Al-Daziyi, 2014: 352) إذ إنَّ وقوعه ضمن الذراع الهاابط لخلية هادلي والمتمثل بالمرتفع شبه المداري الذي يعمل على تكوين تيارات هوائية عليا هابطة نحو منطقة الدراسة، التي تؤدي إلى تسخين الهواء الهاابط وارتفاع درجات الحرارة. (الصحن، 2023:545) (Sahn, 2023:545) .

الغازات المُسببة للأحترار

تعود ظاهرة الاحترار الأرضي إلى أسباب منها طبيعية تُسبّبها الغازات المُنبعثة من حرائق الغابات والانفجارات البركانية (شرف، 2005:296) (Sharaf, 2005:296)، والأخرى بشرية تتبع من الأنشطة البشرية (حاجي ، Haji, 2020:430) (430:2020). تُعدُّ وسائل النقل وخاصة التي تعمل بواسطة وقود البنزين من أهم مُسببات التلوث في المدينة؛ لتنوع استخداماتها، ولكثرتها ما تطرّحه من غازات ملوثة (جواد ، Jawad1233:2023) (1233:2023)، وعلى وفق ما جاء في تقرير المنظمة العالمية للإرصاد الجوية فإنَّ أهم غازات الاحتباس الحراري هي (سلمان، ٢٠٢٠:٦٢) (Salman, ٢٠٢٠:٦٢) (62:2020): غاز ثاني أكسيد الكربون (CO_2) الذي بلغ تركيزه (٤٠٥.٥) جزء في المليون في عام ٢٠١٧ وبزيادة قدرها (١٤٦) % عما كان عليه قبل الثورة الصناعية. وغاز الميثان (CH_4) ثالثي أهم غازات الاحتباس الحراري، إذ ينبعث بنسبة (٤٠) % في الغلاف الجوي من مصادر طبيعية، أما الأنشطة البشرية؛ فتُسهم بنسبة (٦٠) %. أما أكسيد النيتروز (N_2O)؛ فيبلغ تركيزه في الغلاف الجوي (٣٢٩.٩) (٣٢٩.٩:٦٠) (٦٠:٣٢٩.٩) جزء في البليون عام ٢٠١٧ أي ما يعادل (١٢٢) % قبل الثورة الصناعية. ومركبات الكلوروفلوروكريون (CFC^{11}) ثلاثي كلوروفلورو الميثان هو غاز قوي من غازات الاحتباس الحراري خضع لبروتوكول مونتريال.

العوامل المؤثرة في الاحترار وتكرار الظواهر الغبارية في العراق:

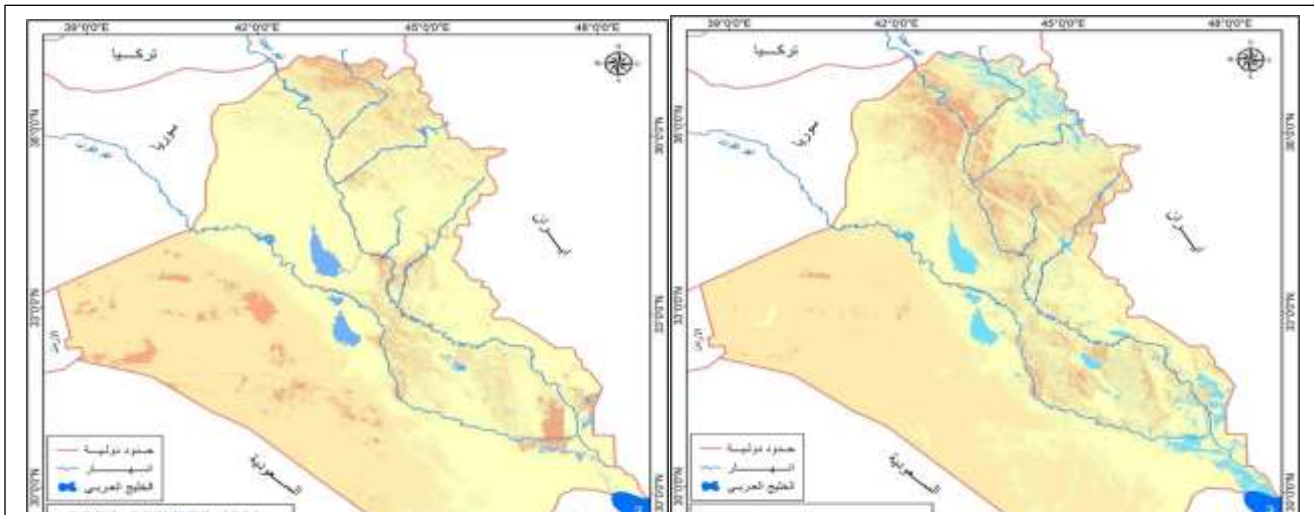
أولاً. الغطاء المائي: إنَّ الموقع الجغرافي للعراق جعله من بين أكثر البلدان تأثُّرًا بظاهرة الاحتباس الحراري (عبد الله ، 2020:200) (Abdullah 200:200). ومن خلال تحليل المرئيات الفضائية، يظهر تراجع الغطاء المائي من خلال مدة الدراسة، بسبب قلة التساقط وارتفاع درجات الحرارة والسياسة المائية من قبل دول الجوار. وفي سنة ١٩٩١ بلغت مساحة الأرضي الرطبة جدًا (٤٢٥٧ كم^٢) وبنسبة ٣٠.٢٨ %، في حين بلغت للموسم الصيفي (٧٨٣٦ كم^٢) بنسبة ١٠.٨٠ %، يلاحظ الخريطة (٢) والجدول (١).

الجدول (1) مساحة المياه كم٢ في منطقة الدراسة ونسبتها لسنة ١٩٩١		
مساحة مؤشر المياه NDWI ونسبة شهر تموز سنة ١٩٩١		
الصنف	المساحة/كم٢	النسبة %
أراضي جافة	24120	5.55
أراضي نادرة الرطوبة	174031	40.00
أراضي قليلة الرطوبة	229065	52.65
أراضي رطبة جداً	7836	1.80
المجموع	435052	100

مساحة مؤشر المياه NDWI ونسبة شهر كانون الثاني سنة ١٩٩١		
الصنف	المساحة/كم٢	النسبة %
أراضي جافة	21008	4.83
أراضي نادرة الرطوبة	207011	47.58
أراضي قليلة الرطوبة	192776	44.31
أراضي رطبة جداً	14257	3.28
المجموع	435052	100

المصدر: الخريطة (2)، باستخدام برنامج Arc GIS 10.8.4

خريطة (٢) مؤشر دليل المياه NDWI لمنطقة الدراسة للموسمين الشتوي والصيفي لسنة ١٩٩١



المصدر: المرئية الفضائية للقمر الصناعي LAND SAT 5، باستخدام القنوات الطيفية (٤،٢)، في كانون الثاني ١٩٩١ يميناً، وفي تموز ١٩٩١ شمالاً باستخدام برنامج Arc GIS 10.8.4.

تراجع مساحة الغطاء المائي سنة ٢٠٢١ في الموسم الشتوي للأراضي الرطبة جداً إلى (٥٧٢٥ كم٢) بنسبة ١.٣٢%， و في الموسم الصيفي إلى (٣٠٥٢ كم٢) بنسبة ٧٠٪، يلاحظ الخريطة (٣) والجدول (٢).

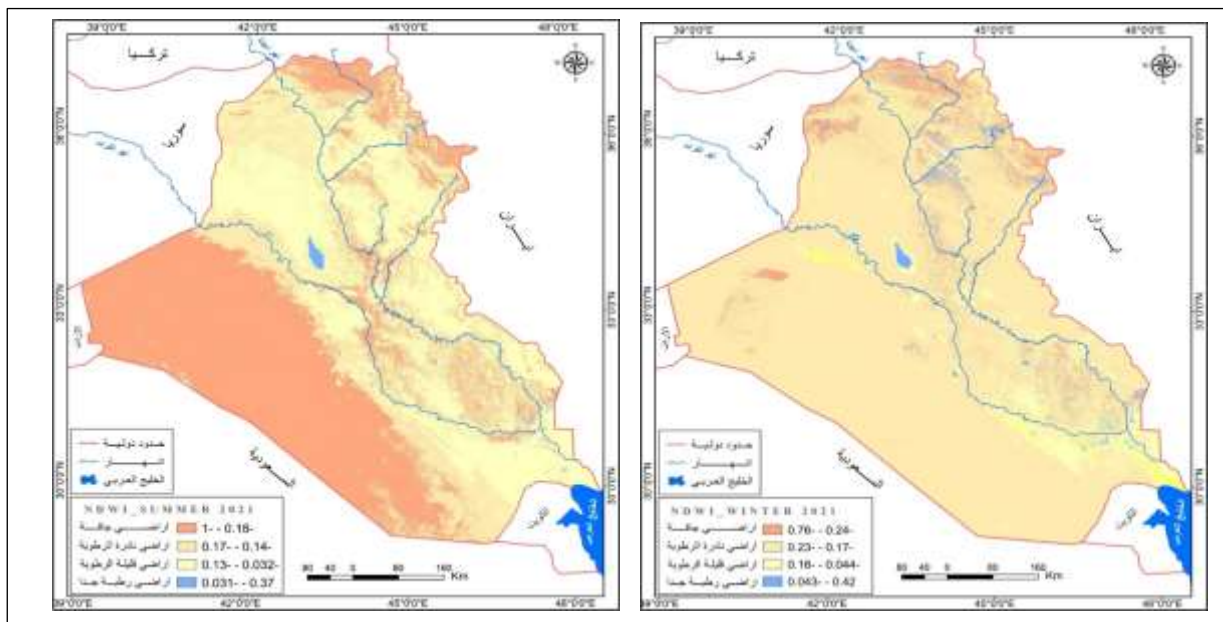
الجدول (٢) مساحة المياه كم ٢ في منطقة الدراسة ونسبيها لسنة ٢٠٢١.

مساحة مؤشر المياه NDWI ونسبة لشهر تموز سنة ٢٠٢١		
الصنف	المساحة/كم²	النسبة%
أراضي جافة	144642	٣٣.٢٥
أراضي نادرة الرطوبة	126918	٢٩.٨٦
أراضي قليلة الرطوبة	157440	٣٦.١٩
أراضي رطبة جداً	٣٠٥٢	٠.٧٠
المجموع	435052	١٠٠

مساحة مؤشر المياه NDWI ونسبة لشهر كانون الثاني، سنة ٢٠٢١

الصنف	المجموع	المساحة/كم²	النسبة %
أراضي جافة	٣٠٧١٢	٣٠٧١٢	٧٠٦
أراضي نادرة الرطوبة	١٦٩١٠٣	١٦٩١٠٣	٣٨.٨٧
أراضي قليلة الرطوبة	٢٢٩٥١٢	٢٢٩٥١٢	٥٢.٧٥
أراضي رطبة جداً	٥٧٢٥	٥٧٢٥	١.٣٢
المجموع	435052		100

الخريطة (٣)، باستخدام برنامج Arc GIS 10.8.4 . المصدر: الخريطة (٣)، مؤشر دليل المياه NDWI لمنطقة الدراسة للموسمين الشتوى والصيفى لسنة ٢٠٢١



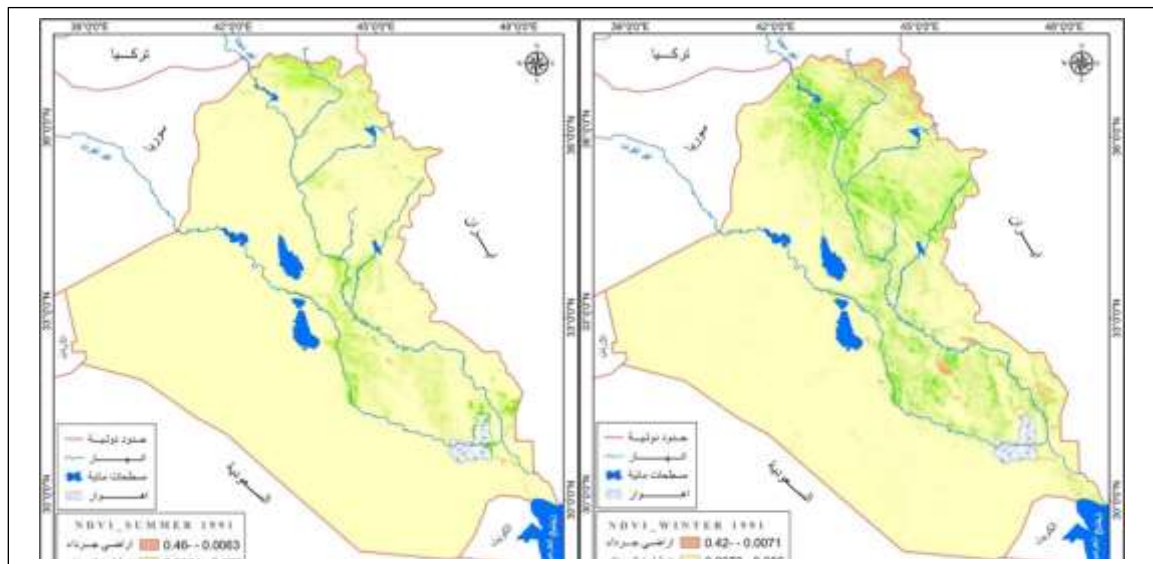
ثانياً. الغطاء النباتي الطبيعي في العراق قليل ويقاد ينعدم من حيث الكثافة في مناطق كثيرة.(Al Bayati, 91:2018) ، ومن المرئيات الفضائية يوجد تراجع في الغطاء النباتي لقلة التساقط والمياه مما أثر في زيادة درجات الحرارة والغبار العالق. ففي سنة ١٩٩١ كانت مساحة الغطاء

النباتي الكثيف (24647 كم^2) بنسبة 5.67% . وللموسم الصيفي (13246 كم^2) بنسبة 3.05% يلاحظ الخريطة (٤) والجدول (٣).

الجدول (٣) مساحة الغطاء النباتي كم^2 في منطقة الدراسة لسنة ١٩٩١		
مساحة مؤشر الغطاء الخضري NDVI ونسبة شهر تموز سنة ١٩٩١		
الصنف	المساحة/ كم^2	النسبة %
أراضي جرداء	7368	1.69
غطاء نباتي نادر	376178	86.47
غطاء نباتي خفيف	38260	8.79
غطاء نباتي كثيف	13246	3.05
المجموع	435052	100
مساحة مؤشر الغطاء الخضري NDVI ونسبة شهر كانون الثاني سنة ١٩٩١		
الصنف	المساحة/ كم^2	النسبة %
أراضي جرداء	18340	4.21
غطاء نباتي نادر	318579	73.23
غطاء نباتي خفيف	73486	16.89
غطاء نباتي كثيف	24647	5.67
المجموع	435052	100

المصدر: الخريطة (٤)، باستخدام برنامج Arc GIS 10.8.4.

خريطة (٤) مؤشر التغطية النباتية NDVI لمنطقة الدراسة للموسم الشتوي والصيفي لسنة ١٩٩١



المصدر: المرئية الفضائية للقمر الصناعي LAND SAT 5، باستخدام القنوات الطيفية (٤، ٣)، في كانون الثاني يميناً و تموز شمالاً ١٩٩١، باستخدام برنامج Arc GIS 10.8.4.

تراجع مساحة الغطاء النباتي سنة ٢٠٢١، بلغت في الموسم الصيفي مساحة الغطاء النباتي الكثيف (٨٨٦٣ كم٢) بنسبة ٤٪، وفي الموسم الشتوي (١١٩٠٥) بنسبة ٢٠٥٪، يلاحظ الخريطة (٥) والجدول (٤).

الجدول (٤) مساحة الغطاء النباتي كم٢ في منطقة الدراسة لسنة ٢٠٢١

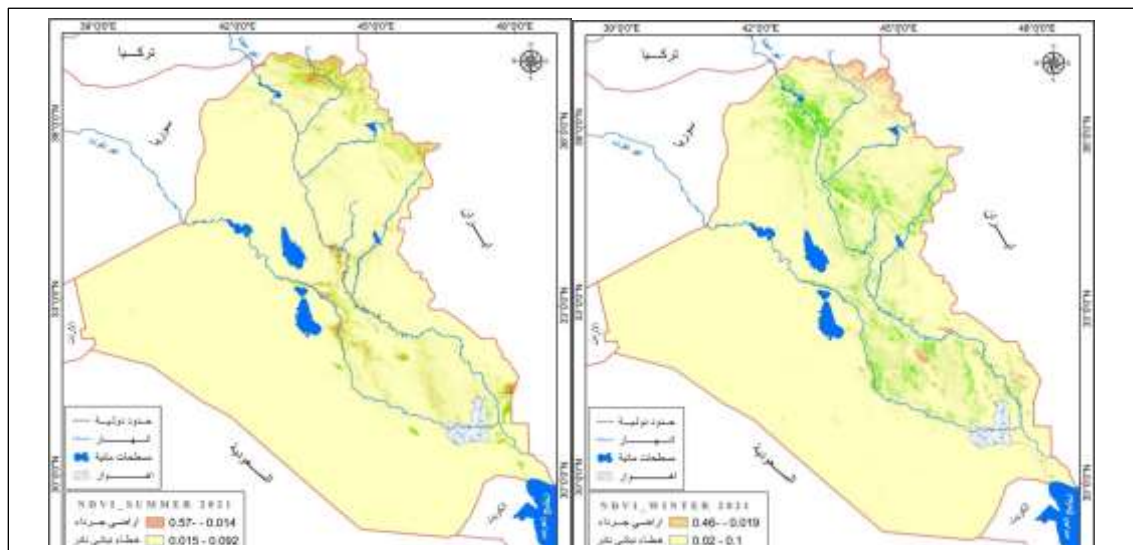
مساحة مؤشر الغطاء الخضري NDVI ونسبة شهر كانون الثاني سنة ٢٠٢١

الصنف	المساحة/كم٢	النسبة%
أراضي جرداً	5763	1.32
غطاء نباتي نادر	375800	٨٧.٠٧
غطاء نباتي خفيف	41584	9.56
غطاء نباتي كثيف	11905	٢.٠٥
المجموع	435052	100

الصنف	المساحة/كم٢	النسبة%
أراضي جرداً	٢٥٩٠٧	٥.٩٥
غطاء نباتي نادر	٣١١٨٥٦	٧١.٦٨
غطاء نباتي خفيف	٨٨٤٢٧	٢٠.٣٣
غطاء نباتي كثيف	٨٨٦٣	٢.٠٤
المجموع	435052	100

المصدر: الخريطة (٥)، باستخدام برنامج Arc GIS 10.8.4

خريطة (٥) مؤشر التغطية النباتية NDVI لمنطقة الدراسة للموسم الشتوي والصيفي لسنة ٢٠٢١



المصدر: المرئية الفضائية للقرى الصناعي LAND SAT_8، باستخدام القواعد الطيفية (٤،٥)، في كانون الثاني يميناً وتموز شمالاً، ٢٠٢١، باستخدام برنامج Arc GIS 10.8.4.

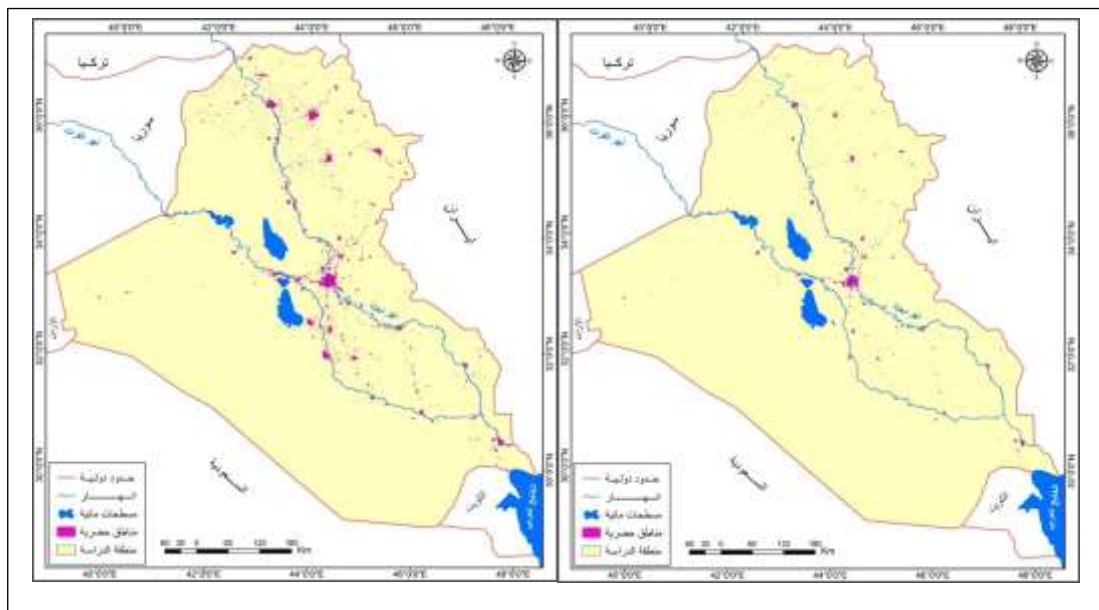
ثالثاً الغطاء السكني:

من خلال تحليل المرئيات الفضائية وتصنيفها يظهر توسيع عمراني في مدة الدراسة؛ بسبب النمو السكاني وتوسيع المدن على حساب المساحات الخضراء. وبلغت مساحة الغطاء الحضري في منطقة الدراسة في سنة ١٩٩١ نحو (٢٤٦٠ كم^٢)، بنسبة (٥٧٪)، وفي سنة ٢٠٢١، بلغت المساحة (٦٦٩٩.١٦ كم^٢)، بنسبة (٥٤٪) يلاحظ الخريطة (٦) والجدول (٥).

الجدول (5) مساحة الحضري ونسبة وتغيراتها في منطقة الدراسة للمدد (١٩٩١-٢٠٠٥-٢٠٢١)				
السنة	المساحة/كم ^٢	النسبة	المدة	الفرق بالمساحة / كم ^٢
١٩٩١	٢٤٦٠.٣٦	٥٧٪	٢٠٠٥-١٩٩١	٨٣٧.٢١
٢٠٠٥	٣٢٩٧.٤٧	٧٦٪	٢٠٢١-٢٠٠٥	٣٤٠١.٦٩
٢٠٢١	٦٦٩٩.١٦	٥٤٪	٢٠٢١-١٩٩١	٤٢٣٨.٩

المصدر من عمل الباحثة بالاعتماد على المرئيات الفضائية لسنة ١٩٩١ و ٢٠٠٥ و ٢٠٢١.

خريطة (6) مؤشر الغطاء الحضري NDBI لمنطقة الدراسة لسنٰي ١٩٩١ يميناً و ٢٠٢١ شمالاً.



المصدر: القمر الصناعي ٥ Landsat_5، حزمه الطيف المرئي للحزم الضوئية Band 1,2,3، ١٩٩١، و

القمر الصناعي ٨ Landsat_8، حزمه الطيف المرئي للحزم الضوئية Band 2,3,4، ٢٠٢١، باستخدام

Arc GIS 10.8.4

الغبار العالق:

يُعرف بأنه ذرات معلقة في الهواء وبمدى رؤيا تتراوح بين (٥-١١) كم، وتكون سرعة الرياح هادئة أو خفيفة (صفر، ١٩٨٥، ١٢: ١٩٨٥)، وهو عبارة عن ذرات من الطين والغرين صغيرة الحجم وزونها خفيف لا تتعذر أقطارها ميكروناً واحداً، وتكون سرعة الرياح الخفيفة والهادئة قادرة على حملها وبقائها في الهواء لمدة تتراوح بين (١٥-١) ساعة (الموسوي، ٢٠١٥: ٣١) (Al-Moussawi, ٢٠١٥: ٣١)، يُعدُّ الغبار العالق صفة المناطق الجافة التي تحدث نتيجة سرعة الرياح والتخشين الحراري للهواء من قاعدته بفعل تماسه مع سطح الأرض، (Strahler, ٤١٣: ١٩٧٤) من خلال الجدول (٦) يتبيان تكرار الغبار العالق، إذ سجّلت محطة بغداد أعلى معدل مجموع تكرار سنوي، في حين كانت البصرة أقلها.

جدول (6) مُعَدّل مجموع تكرار الغبار العالق السنوي (يوم) في محطات منطقة الدراسة للمرة (٢٠٢١ - ١٩٩١)

المحطات	الموصل	كركوك	بغداد	الرطبة	الحي	الناصرية	الديوانية	البصرة
١٢٣	٦٩	١٥٤	٤٤	٧٦	١٢٧	٥٦	٤٣	

المصدر: من عمل الباحثة بالاعتماد على وزارة النقل والمواصلات، الهيئة العامة للألواء الجوية العراقية والرصد الزلزالي، قسم المناخ، بيانات غير مشورة.

تحليل العلاقة بين المتغيرات المستقلة درجات الحرارة والمتغير التابع الغبار العالق:

يتبيّن من تحليل الجدول (٧) لمعامل ارتباط بيرسون أنَّ العلاقة بين درجات الحرارة بوصفها متغير مستقل (الصغرى والمعدل والعظمى) والمتغير التابع (الغبار العالق) كانت طردية. إذ بلغ أعلى معامل في محطة بغداد مع الحرارة الصغرى (٠٠٠٤٠٠٥٨٤) بمستوى معنوية (٠٠٠١)، و مع مُعَدّل درجة الحرارة في محطة بغداد أيضًا (٠٠٠٦١٤) بمستوى معنوية (٠٠٠١)، و أعلى قيمة لدرجة الحرارة العظمى في محطة بغداد كذلك (٠٠٠٤٥٥) وبمعنىَّة (٠٠٠١). في حين بلغت أدنى قيمة لمعامل ارتباط بيرسون في محطة الرطبة مع درجة الحرارة الصغرى (٠٠٠٣٢٢) بمستوى معنوية (٠٠٠٥)، وفي محطة الحي مع مُعَدّل درجة الحرارة (٠٠٠٢٠٧)، ولم يكن هناك علاقة معنوية، في حين كان في محطة كركوك ارتباط مع درجة الحرارة العظمى بأقل معامل (٠٠٠٢) ولم يكن هناك علاقة معنوية.

جدول (7) معامل ارتباط بيرسون للعلاقة المعنوية بين المتغيرات المستقلة درجات الحرارة الصغرى والعظمى والمعدل (م) والمتغير التابع الغبار العالق يوم في محطات منطقة الدراسة للمرة (٢٠٢١ - ١٩٩١)

مستوى المعنوية	قيمة معامل الارتباط البسيط بيرسون	متغيرات الأنماذج			المتغير المعتمد الغبار العالق	
		المتغيرات المستقلة		الرمز		
		اسم المتغير				
0.01	0. 582**	درجات الحرارة الصغرى (م)	X ₁	(الموصل)	(كركوك)	
0.01	0. 499**	مُعَدّل درجة الحرارة (م)	X ₂			
0.05	0. 354*	درجات الحرارة العظمى (م)	X ₃			
0.05	0. 390*	درجات الحرارة الصغرى (م)	X ₁			
0.01	0. 584**	درجات الحرارة الصغرى (م)	X ₁		(بغداد)	
0.01	0. 614**	مُعَدّل درجة الحرارة (م)	X ₂			
0.01	0. 455**	درجات الحرارة العظمى (م)	X ₃		(الرطبة)	
0.05	0. 322*	درجات الحرارة الصغرى (م)	X ₁			
0.01	0. 337*	مُعَدّل درجة الحرارة (م)	X ₂			
0.01	0. 403*	درجات الحرارة العظمى (م)	X ₃			
0.05	0. 413*	درجات الحرارة الصغرى (م)	X ₁	(الحي)	(الناصرية)	
0.01	0. 558**	درجات الحرارة الصغرى (م)	X ₁			
0.05	0. 393*	مُعَدّل درجة الحرارة (م)	X ₂			

0.05	0.335*	درجات الحرارة العظمى (°)	X ₃	
0.05	0.406*	درجات الحرارة الصغرى (°)	X ₁	(الديوانية)
0.05	0.360*	معدل درجة الحرارة (°)	X ₂	
0.05	0.412*	درجات الحرارة الصغرى (°)	X ₁	(البصرة)
0.05	0.366*	درجات الحرارة العظمى (°)	X ₃	

**. Correlation is significant at the 0.01 level (1-tailed).

*. Correlation is significant at the 0.05 level (1-tailed).

المصدر: عمل الباحثة بالاعتماد على وزارة النقل والمواصلات ، الهيئة العامة لأنواع الجوئية

ال العراقي والرصد الزلزالي، قسم المناخ، بيانات غير منشورة، وباستخدام برنامج spss
من نتائج الجداول (٨) للانحدار يظهر لنا وجود علاقة على وفق المستوى المعنوي، ففي محطة الموصل العلاقة معنوية بين درجات الحرارة الصغرى (والبار العالق)، في حين لا يوجد علاقة معنوية مع معدل درجات الحرارة والعظمى، وكان t-test المحسوبة (٣.٨٥٨)، وهي أكبر من المجدولة بدرجة حرية ٢٧ والبالغة (٢.٤٧٣) بمستوى معنوية (٠.٠٠١)، أما اختبار F-test بلغت قيمته المحسوبة (١٤.٨٨٤)، وهي أكبر من المجدولة (٤.٦٠) بمستوى معنوية (٠.٠٠١) وأما معامل الارتباط (٠.٥٨٢) ومعامل التفسير؛ فقد كان (٠.٣٩٠). وفي محطة كركوك كانت العلاقة معنوية مع الحرارة الصغرى، في حين لا يوجد علاقة معنوية مع معدل درجات الحرارة والعظمى، وكان قيمة t-test المحسوبة (٢.٢٨٢) أكبر من المجدولة بدرجة حرية ٢٧ والبالغة (١.٧٠٣) بمستوى معنوية (٠.٠٠٥)، أما F-test (٥.٢٠٧) وهي أكبر من المجدولة (٤.٦٠) بمستوى معنوية (٠.٠٠١) وأما معامل الارتباط، فكان (٠.٣٩٠) ومعامل التفسير (٠.١٥٢). أما في محطة بغداد؛ فكانت العلاقة معنوية مع معدل درجات الحرارة، وكانت t-test المحسوبة (٤.١٨٧)، وهي أكبر من المجدولة بدرجة حرية ٢٧ والبالغة (٢.٤٧٣) بمستوى معنوية (٠.٠٠١)، أما F-test المحسوبة؛ فكانت (١٧.٥٢٨)، وهي أكبر من المجدولة (٤.٦٠) بمستوى معنوية (٠.٠٠١)، أما معامل الارتباط؛ فكان (0.614) ومعامل التفسير (0.377). أما في محطة الرطبة؛ فإن العلاقة معنوية مع درجات الحرارة العظمى، وأن t-test المحسوبة كانت (٢.٣٧٤)، وهي أكبر من المجدولة بدرجة حرية ٢٧ والبالغة (١.٧٠٣) بمستوى معنوية (٠.٠٠٥)، وأما F-test (٥.٦٣٧) وهي أكبر من المجدولة بمستوى معنوية (٠.٠٠١) وأما معامل الارتباط؛ فكان (٠.٤٠٣) ومعامل التفسير (٠.١٦٣). وفي محطة الحي العلاقة المعنوية مع درجات الحرارة الصغرى، وأن t-test المحسوبة (٢.٤٤١) وهي أكبر من المجدولة بدرجة حرية ٢٧ والبالغة (١.٧٠٣) بمستوى معنوية (٠.٠٠٥)، وأما F-test (٥.٩٥٨) وهي أكبر من المجدولة (٤.٦٠) بمستوى معنوية (٠.٠٠١) وأما معامل الارتباط؛ فكان (0.413) ومعامل التفسير (0.170). أما في محطة الناصرية؛ فكانت العلاقة معنوية مع درجات الحرارة الصغرى وـ t-test المحسوبة (٣.٦٢١) وهي أكبر من المجدولة والبالغة (٢.٤٧٣) بمستوى معنوية (٠.٠٠١) وـ F-test المحسوبة (١٣.١١٣) أكبر من المجدولة (٤.٦٠) بمستوى معنوية (٠.٠٠١)، وأما معامل الارتباط؛ فكان (0.558)، ومعامل التفسير (0.311). وفي محطة الديوانية العلاقة معنوية مع درجات الحرارة الصغرى وأن t-test المحسوبة كانت (٢.٣٩١) وهي أكبر من المجدولة (١.٧٠٣) بمستوى معنوية (٠.٠٥)، أما F-test فالمحسوبة (٥.٧١٩) أكبر من المجدولة (٤.٦٠) بمستوى معنوية (٠.٠٠١) وأما معامل الارتباط؛ فكانت (٠.٤٠٦) ومعامل التفسير (٠.١٦٥). أما في محطة البصرة؛ فالعلاقة معنوية مع درجات الحرارة الصغرى وأن t-test المحسوبة كانت (٢.٤٣٧) وهي أكبر من المجدولة (١.٧٠٣) بمستوى معنوية (٠.٥)، أما F-

test المحسوبة، فكانت (٥.٩٣٩) وهي أكبر من المجدولة (٤.٦٠) بمستوى معنوية (٠.٠١)، أما معامل الارتباط، فكان (٠.٤١٢)، ومعامل التفسير (٠.١٧٠).

جدول (٨) أنموذج الانحدار المتعدد للعلاقة المعنوية بين درجات الحرارة الصغرى والعظمى والمعدل (م) مع الغبار العالق يوم في محطات منطقة الدراسة لمدة (١٩٩١-٢٠٢١)

النموذج Model	القيمة التقديرية B		t-test المحسوبة	t-test المجدولة	معامل التفسير 'R	معامل الارتباط R	D.F
الغبار العالق (الموصل)	Constant	-163.698	-2.282	1.703*	0. 339	0. 582	27.3
	الحرارة الصغرى	20.485	3.858	2.473**	F-test المحسوبة		F-test المجدولة
					14.884		4.60**
الغبار العالق (كركوك)	Constant	-244.360	-1.769	1.703*	0. 152	0. 390	27.3
	الحرارة الصغرى	18.466	2.282	1.703*	5.207		4.60**
الغبار العالق (بغداد)	Constant	-722.162	-3.583	2.473**	0. 377	0. 614	27.3
	معدل الحرارة	35.694	4.187	2.473**	17.528		4.60**
الغبار العالق (الرطبة)	Constant	-109.762	-1.785	1.703*	0. 163	0. 403	27.3
	الحرارة العظمى	5.306	2.374	1.703*	5.637		4.60**
الغبار العالق (الحي)	Constant	-768.485	-2.214	1.703*	0. 170	0. 413	3,27
	الحرارة الصغرى	44.489	2.441	1.703*	5.958		4.60**
الغبار العالق (الناصرية)	Constant	-585.783	-3.010	2.473**	0. 311	0. 558	3,27
	الحرارة الصغرى	37.076	3.621	2.473**	13.113		4.60**
الغبار العالق (الديوانية)	Constant	-236.757	-1.901	1.703*	0. 165	0. 406	3,27
	الحرارة الصغرى	16.256	2.391	1.703*	5.719		4.60**
الغبار العالق (البصرة)	Constant	-202.882	-2.000	1.703*	0. 170	0. 412	3,27
	الحرارة الصغرى	12.271	2.437	1.703*	5.939		4.60**

**. Correlation is significant at the 0.01 level (1-tailed).

*. Correlation is significant at the 0.05 level (1-tailed).

المصدر: عمل الباحثة بالاعتماد على وزارة النقل والمواصلات ،الهيئة العامة للأنواع الجوية العراقية والرصد الزلزالي، قسم المناخ، بيانات غير منشورة، وباستخدام برنامج spss

الاستنتاجات:

١. من خلال تحليل المرئيات الفضائية للغطاء المائي والنباتي تبين وجود تراجع ما بين بداية مدة الدراسة ونهايتها.
٢. من خلال تحليل المرئيات الفضائية للغطاء السكني في العراق اتضح وجود توسيع في مساحته في منطقة الدراسة.
٣. يشير التحليل الاحصائي للعلاقة بين المتغير المستقل درجات الحرارة والمتغير التابع الغبار العالق، إلى أنّها كانت طرديّة في محطات الدراسة جميّعاً على وفق ارتباط بيرسون البسيط، في حين كان عامل الانحدار المتعدد للعلاقة بينهما يشير إلى علاقة وبمستوى معنوية في المحطات جميّعاً وأنّ اختلافت بين المحطات على وفق نوع درجات الحرارة ومستوى المعنوية، وأنّ قيمة t-test المحسوبة للحرارة أكبر من قيمة F-test المجدولة. أما F-Test فالمحسوبة كانت أكبر أيضاً من المجدولة.

الوصيات:

١. استخدام تقنية الاستشعار عن بعد ونظم المعلومات الجغرافية، لما تمتاز به من دقة في تحديد التغيرات الحاصلة في الغطاء المائي والنباتي والسكنى.
٢. الاهتمام بالبحوث العلمية الخاصة بالطاقة المتجدد (النظيفة)، وذلك للتقليل من نسبة الغازات الملوثة التي تعمل على ارتفاع درجات الحرارة.
٣. العمل على زراعة النباتات والمحافظة على الغطاء النباتي، ولا سيما الشجري منه في جميع منطقة الدراسة من أجل تقليل نسبة الغازات المُسببة لظاهرة الاحترار، فضلاً عن تقليل الغبار العالق.

المصادر

- البياتي، اسماعيل فاضل خميس(٢٠١٨)، التعرية وأثرها على الأراضي في صلاح الدين، اطروحة دكتوراه (غير منشورة)، جامعة تكريت، كلية التربية،.
- جواد، عاكاظم، ثائر (٢٠٢٣)، التلوث البيئي الناتج عن وسائل النقل، مجلة الأستاذ، كلية التربية ابن رشد، جامعة بغداد، المجلد (٦٢)، العدد (١).
- حاجي، انمار ، عبد الله زيدان خلف (٢٠٢٠)، أثر النمو الصناعي في تفاقم مشكلة الاحتباس الحراري إسبانيا نموذجاً للمدة (٢٠١٥-١٩٩٠)، مجلة تكريت للعلوم الإدارية والاقتصادية، العدد (٥١)، المجلد (١٦).
- الذبي، سالار علي خضر(٢٠١٤)، التغيرات في درجة قارية مناخ العراق، مجلة كلية التربية بنات، جامعة بغداد، المجلد (٢٥)، العدد (٢).
- سلمان نصر شامل(٢٠٢٠) ، ظاهرة الاحترار الأرضي وأثرها في اختلاف خصائص العواصف الرعدية في العراق، اطروحة دكتوراه غير منشورة، جامعة بغداد، كلية التربية ابن رشد للعلوم الإنسانية.
- شرف، محمد إبراهيم (٢٠٠٥)، جغرافية المناخ والبيئة، دار المعرفة الجامعية، الإسكندرية.

- الصحن، هنادي عادل (٢٠٢٣)، أثر ذبذبات المحيط الأطلسي في ظاهرة تسخين الرياح في العراق خلال فصل الصيف، مجلة الأستاذ، كلية التربية ابن رشد، جامعة بغداد، المجلد (٦٢)، العدد (١).
- صقر، محمود عزو (١٩٨٥)، الغبار والعواصف الغبارية في الكويت، الطبعة الأولى، الادارة العامة للطيران المدني، الكويت.
- عبد الله، حبيب فارس، المياه في العراق بين العامل المناخي والموقع الجغرافي، مجلة المستنصرية للدراسات العربية والدولية، العدد ٤١.
- كوكز، مثنى هادي (٢٠٢٢)، الاحتراق الأرضي في العراق، مجلة الأستاذ، كلية التربية ابن رشد، جامعة بغداد، المجلد (٦١)، العدد (١).
- الموسوي، علي صاحب (٢٠١٥)، بتول نوري محسن ، العلاقة المكانية بين الرطوبة النسبية والظواهر الغبارية في العراق، مجلة البحث الجغرافية ، العدد ٢١.
- الهذال، يوسف محمد علي حاتم سلام هاتف احمد الجبوري(٢٠١٤)، التغير المناخي بين الماضي والحاضر، الطبعة الأولى، دار احمد الدباغ للطباعة والنشر، بغداد.

REFERENCES

- Abdullah, Habib Fares, Water in Iraq between the climatic factor and geographical location, Al-Mustansiriya Journal of Arab and International Studies, No. 41.
- Al-Bayati, Ismail Fadel Khamis, Erosion and its impact on land in Salah al-Din, PhD thesis (unpublished), University of Tikrit, Faculty of Education, 2018.
- Al-Dazii, Salar Ali Khader, Changes in the continental degree of Iraq's climate, Journal of the College of Education for Girls, University of Baghdad, Volume (25), Issue (2), 2014.
- Al-Dazii, Salar Ali Khader, Changes in the continental degree of Iraq's climate, Journal of the College of Education for Girls, University of Baghdad, Volume (25), Issue (2), 2014.
- Al-Hathal, Yusuf Muhammad Ali Hatem Salam Ahmed Al-Jubouri phone, Climate Change between Past and Present, First Edition, Dar Ahmed Al-Dabbagh for Printing and Publishing, Baghdad, 2014.
- Al-Musawi, Ali Sahib, Batoul Nouri Mohsen, The Spatial Relationship between Relative Humidity and Dust Phenomena in Iraq, Journal of Geographical Research, Issue 21, 2015.
- Al-Sahn, Hanadi Adel, The Effect of Atlantic Oscillations on the Phenomenon of Wind Soothing in Iraq during the Summer, Al-Ustad Magazine, College of Education Ibn Rushd, University of Baghdad, Volume (62), Issue (1), 2023.
- Arthur. N. Strahler, Alan H. Strahler, Introduction to Environmental Science, John Wiley and sons, Inc, U.S.A., 1974.

- Cooks, Muthanna Hadi, Earth Warming in Iraq, Al-Ustad Magazine, College of Education Ibn Rushd, University of Baghdad, Volume (61), Issue (1), 2022.
- Glenn, T. Trevartha, An Introduction to Climate, Mc GRAW-HILL Book Company, INc. New York, 1954.
- Haji, Anmar, Abdullah Zidan Khalaf, The impact of industrial growth on the exacerbation of the problem of global warming, Spain as a model for the period (1990-2015), Tikrit Journal of Administrative and Economic Sciences, Issue (51), Volume (16), 2020.
- Jawad, Kadhim, Thaer, Environmental pollution resulting from transportation, Al-Ustad Magazine, College of Education Ibn Rushd, University of Baghdad, Volume (62), Issue (1), 2023.
- Safar, Mahmoud Ezzo, Dust and Dust Storms in Kuwait, First Edition, Directorate General of Civil Aviation, Kuwait, 1985.
- Salman, Nasr Shamil, The phenomenon of global warming and its impact on the different characteristics of thunderstorms in Iraq, unpublished doctoral thesis, University of Baghdad, Ibn Rushd College of Education for Human Sciences, 2020.
- Sharaf, Mohamed Ibrahim, Geography of Climate and Environment, Dar Al-Maarifa Al-Jamia, Alexandria, 2005.